

Цикл накопление — измерение — удаление активности может проходить по заданному алгоритму. Установки такого рода позволяют изучать распад нуклидов с временем жизни $\sim 0,1$ с. Для измерения энергетич. спектров α -частиц, электронов и γ -квантов, их пространств.-временных распределений и корреляций применяются магнитные спектрометры, полупроводниковые детекторы и сцинтиляционные детекторы, а также соответствующая ядерная электроника для амплитудного и временного анализа сигналов, поступающих с детекторов, и передачи их в ЭВМ для управления экспериментом и обработки эксперим. данных (см. Анализ данных, Автоматизация эксперимента, Амплитудный анализатор, Амплитудный дискриминатор).

Один из результатов исследования схемы распада показан на рис. 2. Материнские ядра $^{132}_{49}\text{In}_{83}$ с периодом полу-

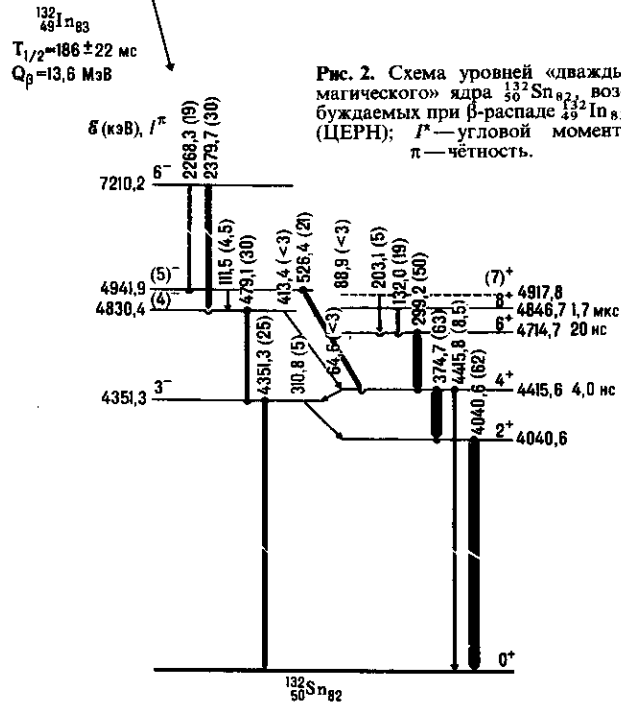


Рис. 2. Схема уровней «дважды магического» ядра $^{132}_{50}\text{Sn}_{82}$, возбуждаемых при β -распаде $^{132}_{49}\text{In}_{83}$ (ЦЕРН); I^π — угловой момент, π — чётность.

связанными состояниями ядра, сформированными после того, как все быстрые процессы, управляемые сильным взаимодействием, закончились.

Варьируя сорт и энергию бомбардирующих частиц и ядра мишени, можно возбуждать в изучаемых ядрах разл. системы состояний. Так, в реакциях захвата нейтронов низкой энергии (< 1 кэВ) в ядро мишени вносится небольшой угол момента I , что позволяет изучать систему низко-спиновых состояний ядер вплоть до энергии связи нейтрон-

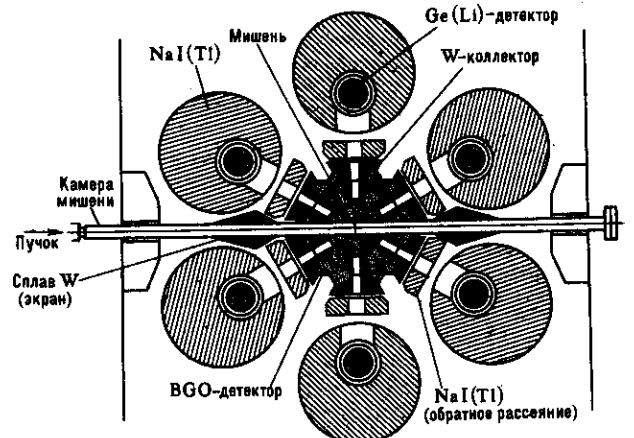


Рис. 3. Многодетекторный γ -спектрометр для исследования высокоспиновых состояний ядер, возбуждаемых в реакциях с тяжелыми ионами.

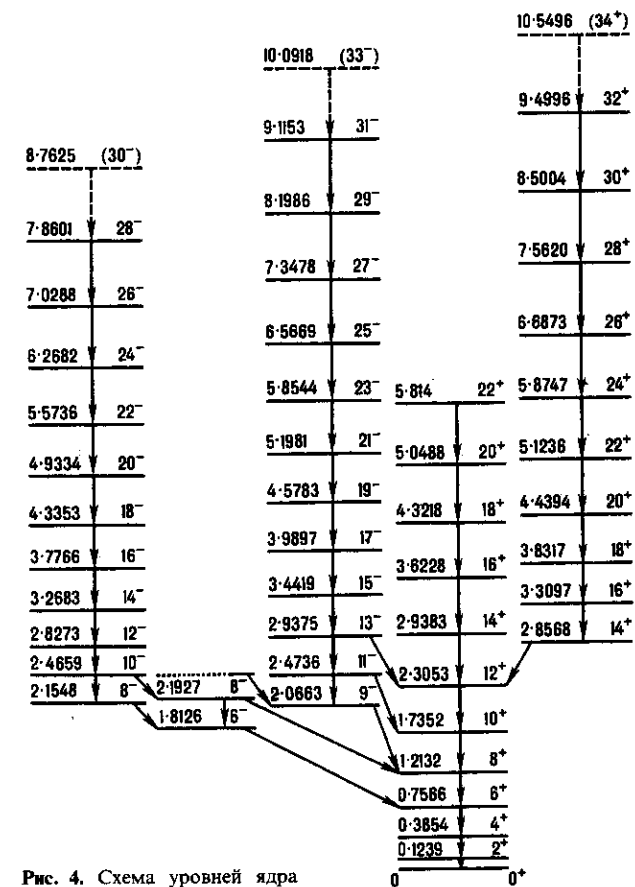


Рис. 4. Схема уровней ядра ^{168}Hf , возбуждаемых в реакции $^{24}\text{Sn}(^{48}\text{Ti}, 4\text{n})^{168}\text{Hf}$. Разделены ротационные полосы, основанные на состояниях различной природы.